

# MATLAB и преобразование Фурье

Дискретное преобразование Фурье [1–6], реализуемое в MATLAB с помощью функций `fft` и `ifft`, играет важную роль в анализе сигналов. Однако, как показывает опыт общения с пользователями MATLAB в форуме на сайте <http://www.matlab.ru>, это в общем-то несложное преобразование вызывает значительное число вопросов и недоразумений. В статье разъясняются некоторые из них.

## Формулы дискретного преобразования Фурье

Итак, дискретное преобразование Фурье (ДПФ) позволяет превратить  $N$  отсчетов сигнала  $\{x(k)\}$  в столько же спектральных отсчетов  $\{\dot{X}(n)\}$ . Связь между представлениями сигнала во временной и частотной областях выражается следующими формулами:

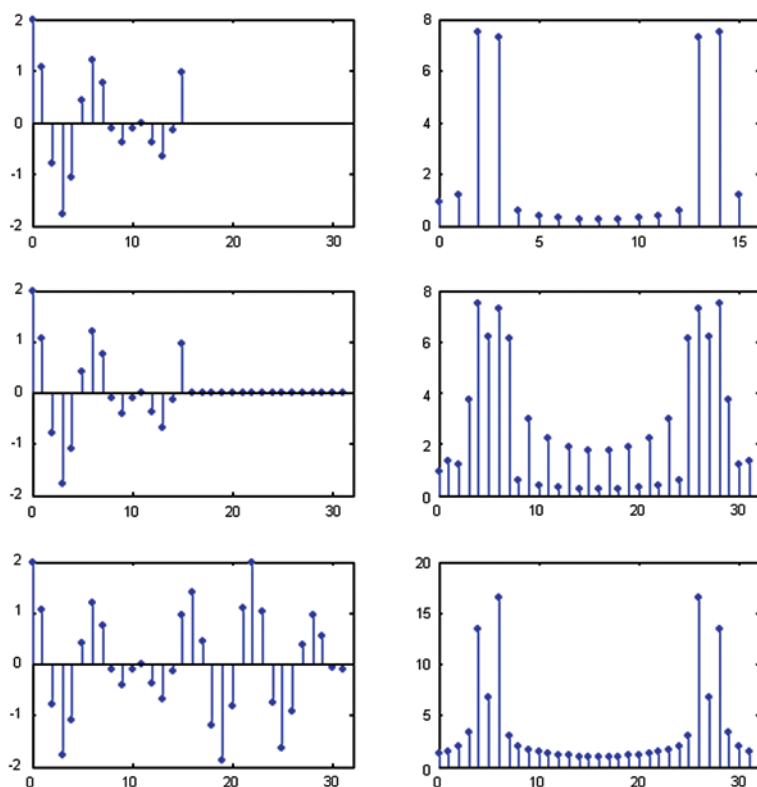
$$\dot{X}(n) = \sum_{k=0}^{N-1} x(k) \exp\left(-j \frac{2\pi nk}{N}\right), \quad (1)$$

$$x(k) = \frac{1}{N} \sum_{n=0}^{N-1} \dot{X}(n) \exp\left(j \frac{2\pi nk}{N}\right). \quad (2)$$

В приведенных формулах индексы меняются от нуля до  $N-1$ . В MATLAB нумерация элементов векторов начинается с единицы, поэтому *первый* элемент результата, возвращаемого функцией `fft`, равен  $\dot{X}(0)$ , второй —  $\dot{X}(1)$  и т. д.

Выражения для прямого (1) и обратного (2) ДПФ отличаются лишь знаком в показателе комплексной экспоненты и наличием в обратном преобразовании множителя  $1/N$  перед оператором суммирования.

▼ **Рис. 1.** Слева — сигнал в виде суммы двух синусоид, справа — модуль его ДПФ при  $N = 16$  (сверху),  $N = 32$  (снизу) и при дополнении 16 нулями (в центре).



Формула (2) представляет сигнал  $x(k)$  в виде суммы комплексных экспоненциальных слагаемых, обладающих общим периодом, равным  $N$  отсчетам. Отсюда следует, что ДПФ неявно подразумевает *периодическое продолжение* анализируемого фрагмента сигнала. С этой периодичностью связан ряд свойств ДПФ, речь о которых пойдет далее.

Для вещественного сигнала  $x(k)$  ДПФ обладает комплексно-сопряженной симметрией:

$$\dot{X}(n) = \dot{X}^*(N - n).$$

## Градуировка частотной оси

В формулах (1) и (2) нет никакого указания на реальные моменты времени или частоты — в них фигурируют лишь *номера* отсчетов во временной и частотной областях. Чтобы говорить о временном и частотном масштабах, необходимо знать, с какой частотой брались отсчеты анализируемого сигнала. Если последовательность  $\{x(k)\}$  представляет собой отсчеты, взятые с частотой дискретизации  $F_s$  (то есть с интервалом  $T = 1/F_s$ ), то *частоты анализа*, соответствующие спектральным отсчетам, полученным в результате вычисления ДПФ, будут расположены с шагом  $F_s/N$ . Первый элемент полученного вектора соответствует нулевой частоте, последний — частоте  $F_s(N-1)/N$ . Ниже приводится код MATLAB, позволяющий получить вектор значений частот для ДПФ размерности  $N$ , если частота дискретизации сигнала равна  $F_s$ :

```
f = (0:N-1) / N * Fs;
```

Из сказанного следуют два важнейших положения.

- Чтобы расширить полосу анализа, нужно увеличить  $F_s$ , то есть брать отсчеты чаще.

- Чтобы улучшить частотное разрешение без изменения полосы анализа, нужно увеличить  $N$ , то есть анализировать более длинный фрагмент сигнала. При этом следует различать два возможных случая.

- Длина сигнала увеличивается за счет *дополнения нулями*. В этом случае мы получаем *тот же спектр, интерполированный к более частой сетке частот*. Поскольку новых данных не добавляется, характерные параметры спектра, такие как ширина спектральных пиков, не меняются. Слова «улучшение разрешения» означают при этом только расчет спектра для большего количества частот.

- Длина сигнала увеличивается за счет *добавления новых данных*, то есть мы действительно анализируем более длинный фрагмент сигнала. В этом случае получится *новый спектр*, а слова «улучшение разрешения» обретают реальный смысл — спектральные пики, соответствующие содержащимся в сигнале гармоническим составляющим, станут более узкими.

В качестве примера на рис. 1 показано, что происходит с ДПФ сигнала в виде суммы двух си-

нусоид с близкими частотами (сверху) при его дополнении нулями (в центре) и при реальном увеличении длины анализируемого фрагмента (снизу). На графиках хорошо видно, что дополнение сигнала нулями до 32 отсчетов дало более частую сетку частот анализа, но, так же как и 16-точечное ДПФ, не дало возможности увидеть два спектральных пика раздельно. А вот 32-точечное ДПФ, вычисленное по 32 отсчетам суммы синусоид, показало два пика на разных частотах. Ниже приведен код MATLAB, использованный для получения данного рисунка.

```
t = 0:31; % вектор моментов времени
s = cos(1.15*t)+cos(0.85*t);
% сигнал в виде суммы синусоид
X1 = fft(s, 16); % длина сигнала — 16 отсчетов
X2 = fft(s(1:16), 32);
% 16 отсчетов сигнала дополнены 16 нулями
X3 = fft(s, 32); % длина сигнала — 32 отсчета
subplot(3,2,1)
stem(0:15, sn(1:16), 'r')
xlim([0 32])
subplot(3,2,2)
stem(0:15, abs(X1), 'r')
xlim([0 16])
subplot(3,2,3)
stem(0:31, [sn(1:16) zeros(1,16)], 'r')
xlim([0 32])
subplot(3,2,4)
stem(0:31, abs(X2), 'r')
xlim([0 32])
subplot(3,2,5)
stem(0:31, sn, 'r')
xlim([0 32])
subplot(3,2,6)
stem(0:31, abs(X3), 'r')
xlim([0 32])
```

Дополнение сигнала нулями необязательно делать явно — можно просто указать желаемую длину в качестве второго параметра функции `fft`.

## Размерности

Формула (1) представляет собой линейную комбинацию отсчетов сигнала, причем коэффициенты этой комбинации (комплексные экспоненты) являются безразмерными. Поэтому размерность спектральных отсчетов  $\hat{X}(n)$  совпадает с размерностью исходных отсчетов сигнала  $x(k)$ . Какой смысл имеет абсолютная величина спектральных отсчетов? Дать ответ на этот вопрос можно с помощью нескольких простейших примеров.

- Вычисление ДПФ для *постоянного* сигнала ( $x(k) = A$  для всех  $k$ ) даст следующее:

$$\hat{X}(n) = \begin{cases} AN, & n = 0, \\ 0, & n \neq 0. \end{cases}$$

- Пусть преобразуемый сигнал представляет собой *синусоиду* с амплитудой  $A$  и частотой, *совпадающей* (это важно!) с одной из частот анализа ( $f_0 = n_0 F_s / N$ ). Тогда ДПФ даст два ненулевых значения, равных (по модулю)  $AN/2$  и соответствующих частоте синусоиды и ее «зеркальному отражению» от частоты дискретизации:

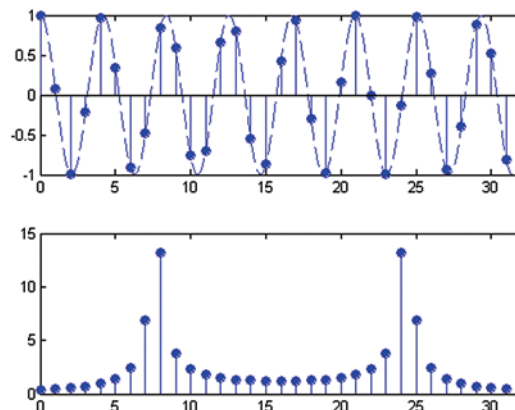
$$|\hat{X}(n)| = \begin{cases} AN/2, & n = n_0 \text{ и } n = N - n_0; \\ 0, & \text{в остальных случаях.} \end{cases}$$

- Если частота синусоиды находится где-то *между* частотами анализа, будет иметь место так называемое *растекание спектра* (spectrum leakage), о котором поговорим подробнее.

## Растекание спектра

Растекание спектра проявляется в том, что при вычислении ДПФ синусоиды с частотой, не совпадающей ни с одной из частот анализа, мы вместо узкого пика получаем сложный спектр, в котором в общем случае могут содержаться *все* возможные частоты. Причина растекания спектра состоит в том, что ДПФ неявно подразумевает периодическое продолжение анализируемого фрагмента сигнала. Если на рассматриваемом промежутке укладывается целое число периодов синусоиды (это эквивалентно условию совпадения ее частоты с одной из частот анализа), периодически продолженный сигнал также будет непрерывной синусоидой, в спектре которой содержится единственная частота. Если же число периодов на интервале анализа не является целым, при периодическом продолжении сигнала непрерывность синусоиды окажется нарушенной и спектр «растечется» (рис. 2). Ниже приведен код MATLAB, использованный для получения данного рисунка.

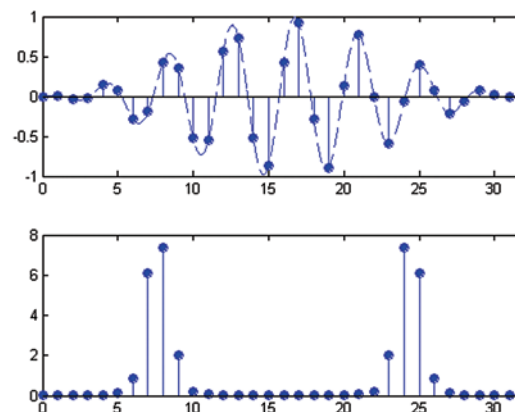
```
td = (0:31)';
t = (0:0.01:32)';
w=1.5; % частота синусоиды
s = cos(w*t); % аналоговый сигнал
sd = cos(w*td); % дискретный сигнал
subplot(2,1,1), plot(t,s,'r')
hold on, stem(td,sd,'filled'), hold off
xlim([t(1) t(end)])
subplot(2,1,2)
stem(td, abs(fft(sd)), 'filled')
xlim([t(1) t(end)])
```



▲ Рис. 2. Растекание спектра.

Для борьбы с растеканием спектра используются *весовые*, или *оконные*, функции (window). При этом сигнал перед вычислением ДПФ умножается на некоторую функцию, спадающую от середины к краям. Это позволяет ослабить влияние разрывов, возникающих на стыках фрагментов сигнала при его периодическом продолжении. На рис. 3 показаны сигнал и модуль его ДПФ при использовании окна Ханна (функция `hann`). Видно, что использование весовой функции позволило существенно ослабить побочные спектральные составляющие — правда, за счет расширения спектральных пиков. Последнее, к сожалению, неизбежно. Вот код MATLAB, использованный для получения этого рисунка:

```
sw = s.*hann(length(s));
sdw = sd.*hann(length(sd), 'periodic');
subplot(2,1,1), plot(t,sw,'r')
```



▲ Рис. 3. При вычислении ДПФ применено окно Хана.

```
hold on, stem(td, sdw, 'filled'), hold off
xlim([t(1) t(end)])
subplot(2,1,2)
stem(td, abs(fft(sdw)), 'filled')
xlim([t(1) t(end)])
```

Пакет Signal Processing Toolbox содержит примерно полтора десятка функций для расчета различных окон.

### Дискретное и быстрое преобразования Фурье — в чем разница?

Математическое преобразование, описываемое формулами (1) и (2), называется *дискретным преобразованием Фурье* (ДПФ; Discrete Fourier Transform — DFT). Термин «быстрое преобразование Фурье» (БПФ; Fast Fourier Transform — FFT) относится к *способу вычисления* ДПФ. Основная идея алгоритма БПФ рассматривается практически во всех учебных пособиях по обработке сигналов [1–5] и вкратце может быть изложена следующим образом: если размерность преобразования  $N$  может быть разложена на множители, то и само преобразование можно разделить на несколько преобразований меньшей размерности, а затем объединить их результаты. При этом удастся уменьшить требуемое для вычисления ДПФ количество вычислительных операций. Наибольшее ускорение вычислений достигается, когда  $N$  равно степени двойки.

Важно понимать, что БПФ не является приближенным алгоритмом; при отсутствии вычислительных погрешностей он даст в точности тот же результат, что и исходная формула ДПФ (1). Ускорение достигается исключительно за счет оптимальной организации вычислений. Кроме того, необходимо помнить, что алгоритм БПФ предназначен для одновременного расчета *всех* спектральных отсчетов  $\dot{X}(n)$ . Если же необходимо получить эти отсчеты лишь для некоторых  $n$ , может оказаться предпочтительнее прямая формула ДПФ (1) или алгоритм Герцеля.

Алгоритм Герцеля [3, 4] позволяет вычислить ДПФ для одной частоты. Его идея состоит в том, что формула (1) представляется как результат обработки сигнала рекурсивным фильтром второго порядка. В пакете Signal Processing Toolbox для этого имеется функция **goertzel**.

### Оценка спектра аналогового сигнала

Выше уже говорилось, что ДПФ подразумевает периодичность анализируемого сигнала, что и приводит к дискретной сетке частот анализа. Конечный набор отсчетов имеет *непрерывный* спектр, который может быть рассчитан так:

$$\dot{X}(f) = \sum_{k=0}^{N-1} x(k) \exp\left(-j2\pi k \frac{f}{F_s}\right). \quad (3)$$

В MATLAB рассчитать по формуле (3) непрерывный спектр конечного фрагмента дискретного сигнала  $x$  на частотах  $f$  при частоте дискретизации  $F_s$  можно с помощью функции **freqz**, вызвав ее следующим образом:

```
X = freqz(x, 1, f, Fs);
```

Если отсчеты  $x(k)$  получены путем дискретизации аналогового сигнала  $s(t)$ , имеющего спектральную функцию  $\dot{S}(f)$ , то спектр дискретного сигнала представляет собой сумму бесконечно-го числа сдвинутых по частоте копий спектра аналогового сигнала:

$$\dot{X}(f) = F_s \sum_{n=-\infty}^{\infty} \dot{S}(f - nF_s).$$

Отсюда следует, что если спектр аналогового сигнала на частотах, превышающих  $F_s/2$ , пренебрежимо мал, то его оценку в полосе  $0 \dots F_s/2$  можно получить из спектра дискретного сигнала:  $\dot{S}(f) \approx \dot{X}(f)/F_s$ . Это соответствует интерполяции дискретных отсчетов функциями  $\sin(\pi(F_s t - k))/(\pi(F_s t - k))$  согласно теореме Котельникова.

*Аналитически* вычислить преобразование Фурье можно средствами Symbolic Math Toolbox с помощью функций **fourier** и **ifourier**.

### Преобразование Фурье — это еще не весь спектральный анализ!

В заключение этой небольшой статьи обратим внимание читателя на следующее. К сожалению, довольно широко распространено мнение о том, что спектральный анализ сигнала есть вычисление его преобразования Фурье, дискретного или непрерывного. Однако преобразование Фурье — всего лишь взаимно однозначное математическое преобразование, позволяющее получить частотный состав *конкретного* анализируемого фрагмента. Если же, как в большинстве практических задач и бывает, анализируемый сигнал является *случайным*, подходы к спектральному анализу существенно меняются. Для случайного сигнала имеет смысл только *спектральная плотность мощности* (СПМ; Power Spectral Density — PSD), и ее *оценка* может быть получена различными способами. Подробную информацию о существующих методах спектрального оценивания можно найти, например, в книге [6].

В пакете Signal Processing Toolbox для выполнения спектрального анализа случайных сигналов имеются следующие функции:

- **periodogram** — периодограмма;
- **pwelch** — метод Уэлча;
- **pmtm** — метод Томсона;
- **pburg**, **pcov**, **pnmconv**, **pyulear** — разновидности авторегрессионных методов;
- **pmusic**, **peig** — методы MUSIC и EV.

### Литература

1. Гоноровский И. С., Демин М. П. Радиотехнические цепи и сигналы: Учебник для вузов. — М.: Радио и связь, 1994.
2. Баскаков С. И. Радиотехнические цепи и сигналы: Учебник для вузов по спец. «Радиотехника». — М.: Высшая школа, 2000.
3. Сергиенко А. Б. Цифровая обработка сигналов: Учебное пособие. — СПб.: Питер, 2002.
4. Голд Б., Рэйдер Ч. Цифровая обработка сигналов / Пер. с англ., под ред. А. М. Трахтмана. — М., «Советское радио», 1973. — 368 с.
5. Рабинер Л., Гоулд Б. Теория и применение цифровой обработки сигналов / Пер. с англ.; под ред. Ю. И. Александрова. — М.: Мир, 1978.
6. Марпл-мл. С. Л. Цифровой спектральный анализ и его приложения / Пер. с англ. — М.: Мир, 1990.



Автор:

**Сергиенко Александр Борисович**, доцент, кандидат технических наук, доцент кафедры теоретических основ радиотехники; Санкт-Петербургский государственный электротехнический университет «ЛЭТИ», г. Санкт-Петербург